

Wieloskalowe i zautomatyzowane testowanie przypuszczenia Beal'a

Bigscale and automatized testing of Beal's Conjecture

Łukasz Świerczewski¹

Abstrakt : Praca prezentuje aspekt adaptacji oraz wykorzystywania algorytmów zaprezentowanych w publikacji [1] na platformie do obliczeń rozproszonych BOINC [2]. Dodatkowo wykonano testy skalowalności przyspieszenia oprogramowania na takich platformach jak Intel Xeon Phi 5110P [3] oraz platformie wykorzystującej Versatile SMP Foundation Advanced Platform firmy ScaleMP (rozwiązanie klasy vSMP [4][5]). Dzięki długotrwałym obliczeniom udało się znaleźć 47 rozwiązań przystających prawidłowo modulo 264. Żadne z uzyskanych rozwiązań nie jest jednak prawidłowe w przestrzeni całego zbioru liczb naturalnych, a co za tym idzie nie odnaleziono poprawnego kontrprzykładu dla przypuszczenia Beal'a.

Słowa kluczowe: *Przypuszczenie Beal'a, BOINC, obliczenia równoległe*

Abstract : This paper presents adaptation aspect and use of algorithms presented in publication [1] on distributed computing platform BOINC. What is more, there were made some test of software acceleration scalability on such platforms like Intel Xeon Phi 5110P and platform that uses Versatile SMP Foundation Advanced Platform made by ScaleMP. Thanks to long-lasting computation 47 solutions correctly congruent modulo 2^{64} were found. None of the solutions obtained is not correct in the space around the set of natural numbers and what's connected to that, any correct counterexample for Beal's Conjecture was not found.

Keywords: *Beal's conjecture, BOINC, parallel computing*

Wprowadzenie

Przypuszczenie Beal'a jest nierozwiązanym do dnia dzisiejszego problemem matematycznym z gałęzi teorii liczb i mówi ono, że jeśli:

$$x^m + y^n = z^r$$

gdzie x, y, z, m, n oraz r są dodatnimi liczbami całkowitymi, $a, m, n, r > 2$, to x, y, z mają wspólny dzielnik będący liczbą pierwszą.

Pomimo wielu usilnych prób (zarówno analitycznych jak i obliczeniowych) nie udało się tego twierdzenia obalić – znaleźć kontrprzykładu dla liczb x, y, z z wartościami x, y, z , które są parami względnie pierwsze.

Aktualnie za rozwiązanie problemu jest przewidziana nagroda \$1 000 000.

Cel Pracy

Celem pracy jest komputerowa weryfikacja poprawności przypuszczenia Beal'a w zadanych przedziałach. Szczegółowo tezę pracy można postawić następująco:

Przypuszczenie Beal'a jest prawidłowe dla $0 < i < 5\,000^2$ oraz $9\,999 < i < 10\,601$, gdzie zmienna i definiuje zweryfikowany przedział w jakim mogą znajdować się wartości podstaw x, y i z jako:

$$x, y, z \in [i \cdot 2000 ; (i + 1) \cdot 2000)$$

Wartości wykładników zawsze są zdefiniowane następująco:

$$m, n, r \in [3 ; 1000]$$

¹ Państwowa Wyższa Szkoła Informatyki i Przedsiębiorczości w Łomży, Instytut Automatyki i Robotyki

2. Przy $i < 10\,000$ nie zastosowano dwukrotnej weryfikacji danych (zakresy przeliczono tylko raz). W przypadku gdy obliczenia z powodów technicznych zakończyły się błędem (błąd sprzętowy węzła) mogło dojść z pewnym prawdopodobieństwem do pominięcia możliwych rozwiązań, pomimo że teoretycznie po błędzie zadanie powinno zostać jeszcze raz, na nowo załadowane do systemu kolejkowania. Na klastrze zdefiniowany był przez administratorów ICM UW limit 7 dni na wykonanie pojedynczego zadania – sporadyczna część zadań nie zmieściła się w tych ograniczeniach czasowych, chociaż były także i zadania liczące w granicach dwóch dni. Bez podwójnej weryfikacji nie można mieć całkowitej pewności czy nie istnieje w tych zakresach kontrprzykład dla przypuszczenia Beal'a.

i	Ograniczenie dolne przedziału dla podstaw (włącznie)	Ograniczenie górne przedziału dla podstaw (bez)	Ograniczenie dolne przedziału dla wykładników (włącznie)	Ograniczenie górne przedziału dla wykładników (włącznie)
0	0	2 000	3	1 000
1	2 000	4 000		
2	4 000	6 000		
3	6 000	8 000		
... (włącznie)				
5 000	10 000 000	10 002 000	3	1 000
... (bez)				
10 000	20 000 000	20 002 000	3	1 000
... (włącznie)				
10 600	21 200 000	21 202 000	3	1 000

Tab. 1. Tabela przedstawiająca zestawienie zweryfikowanych przedziałów.

Tab. 1. Table showing comparison of verified divisions.

Pierwszych 5 000 przedziałów zbadano z wykorzystaniem zasobów superkomputerowych ICM UW³ (zajęło to w przybliżeniu 600 000 godzin obliczeniowych⁴). Ostatnich 601 przedziałów ($9\,999 < i < 10\,601$) sprawdzono wykorzystując zarówno platformę BOINC, jak i połączone do niej zasoby superkomputerowe⁵ za pomocą specjalnie skonfigurowanego środowiska. Daje to w przybliżeniu kolejnych 21 636 godzin obliczeniowych.

Obliczenia rozproszone i platforma BOINC (Berkeley Open Infrastructure for Network Computing)

Obliczenia rozproszone umożliwiają współdzielenie zasobów, które są często rozproszone nawet pod względem geograficznym. O tego typu obliczeniach będziemy mówić jednak nawet wtedy, gdy zasoby nie będą rozproszone pod względem geograficznym, a gdy posiadają architekturę heterogeniczną. Wśród Internautów dużą popularnością cieszą się projekty rozproszone, które umożliwiają bezpłatne udostępnienie mocy obliczeniowych domowych komputerów na potrzeby rozwiązywania bardzo złożonych problemów naukowych. Jedną z takich platform jest BOINC.

Obliczenia rozproszone

Obliczenia rozproszone są pewnym podzbiorem obliczeń równoległych. Nie uruchomimy więc efektywnie wszystkich algorytmów równoległych w systemie rozproszonym. Jak się jednak okazuje takie rozwiązanie umożliwia nam dobrą analizę dużej ilości problemów. Systemy rozproszone bazują zazwyczaj na architekturze klient – serwer, któ-

rej zobrazowanie przedstawiono na Ryc. 1.



Ryc. 1. Architektura klient – serwer. W centrum umieszczony serwer, do którego są podłączeni klienci. Źródło: Opracowanie własne.

Fig. 1. Client-Server architecture. Server placed in center and clients connected to it. Source: Own data.

Architektura klient – serwer, a co za tym idzie także obliczenia rozproszone mają swoje wady. Jedną z nich jest to, że przesyłanie informacji możliwe jest głównie jedynie na liniach klient – serwer oraz w drugą stronę (serwer – klient). Nie ma możliwości samodzielnej łączności pomiędzy klientami, co czasem może bardzo ograniczać programistę.

Do zalet systemów rozproszonych należy jednak to, że umożliwiają one na dostęp do relatywnie dużych zasobów obliczeniowych (w porównaniu do klastrów komputerowych i komputerów z pamięcią wspólną).

Platforma BOINC

Początkowo platforma BOINC była wykorzystywana jedynie przez projekt poszukiwania cywilizacji pozaziemskich SETI@Home. Z czasem jednak zaczęło z niej korzystać wiele ośrodków naukowych na całym świecie. W Tab. 2 zaprezentowano zestawienie przykładowych projektów BOINC. Istniało oraz istnieje także wiele polskich projektów BOINC (m.in. zaprezentowany w pracy [6] [7]).

3. Do weryfikacji wykorzystano superkomputer HP BladeSystem/Actina – Hydra.

4. Wykorzystano część superkomputera Hydra zawierającą 120 węzłów złożonych z dwóch procesorów klasy Intel Xeon X5660 oraz 24 GB pamięci RAM. Obliczenia trwały dwa miesiące. W tym okresie jednak nie były wykorzystywane wszystkie zasoby danej części superkomputera (korzystały z niego także inni użytkownicy).

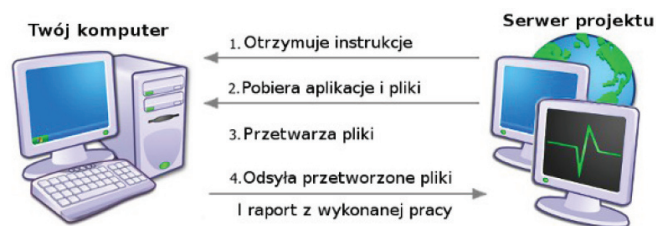
5. W tym etapie obliczeń wzięło udział maksymalnie jedynie 9 węzłów z procesorami Intel Xeon X5660.

Nazwa	Kategoria	Dziedzina	Właściciel
Asteroids@Home [8] [9]	Nauki fizyczne	Astrofizyka	Charles University in Prague
ATLAS@Home [10]	Nauki fizyczne	Fizyka	CERN (European Organization for Nuclear Research)
Climateprediction.net [11]	Nauki o Ziemi	Klimatologia	Oxford University
Cosmology@Home	Nauki fizyczne	Astronomia	University of Illinois at Urbana-Champaign
Einstein@Home [12] [13]	Nauki fizyczne	Astrofizyka	Univ. of Wisconsin - Milwaukee, Max Planck Institute
FightNeglectedDiseases@Home	Biologia i medycyna	Poszukiwanie leków przeciw malarii	University College Dublin
GPUGrid.net	Biologia i medycyna	Modelowanie molekularne protein	Barcelona Biomedical Research Park (PRBB)
Malariacontrol.net [14]	Biologia i medycyna	Epidemiologia	The Swiss Tropical Institute
MindModeling@Home [15]	Nauki kognitywne i sztuczna inteligencja	Nauki kognitywne	University of Dayton and Wright State University

Tab. 2. Przykładowe projekty działające na platformie BOINC. Źródło: Opracowanie własne w oparciu o stronę Uniwersytetu Kalifornijskiego w Berkeley.

Tab. 2. Example projects working on BOINC platform. Source: Own elaboration based on UC Berkeley.

Jak zaprezentowano w Tab. 2 możliwości BOINC wykorzystuje wiele wiodących instytucji (od CERN po Oxford). Idea tego systemu jest bardzo podobna do innych platform rozproszonych. Schemat działania każdego projektu BOINC zaprezentowano na Ryc. 2.



Ryc. 2. Przepływ danych/instrukcji pomiędzy serwerem BOINC, a klientem. Źródło: Strona zespołu BOINC@Poland.

Fig. 2. Flow of data/instructions between BOINC server and client. Source: BOINC@Poland website.

Pierwszym etapem w komunikacji jest połączenie się klienta z tak zwanym schedulerem projektu. To on na podstawie informacji o hoście (rodzaj systemu operacyjnego, typ procesora, ilość pamięci RAM itp.) może wysłać do niego aplikację/aplikacje liczące oraz dane wejściowe. Po pobraniu niezbędnych plików klient przechodzi do obliczeń. W momencie gdy skończy on wykonywać operacje

dla danego zadania odsyła przetworzone pliki do serwera. Razem z wynikami wygenerowanymi przez aplikację wysyłany jest także m.in. plik *stderr.txt*, w którym znajduje się zapis wyjścia diagnostycznego aplikacji liczącej.

Należy także dodać, że aplikacje, które wykorzystują projekty BOINC można podzielić na te które używają intensywnie CPU i takie co nie zajmują czasu CPU praktycznie wcale. Do projektów *Non-CPU-intensive* należy m.in. WUProp@Home, który ma na celu analizę wykorzystania zasobów komputerów klientów przez inne projekty BOINC.

Analiza wyników zrównoleglenia na platformie złożonej dodatkowo z akceleratora Intel Xeon Phi 5110P

Dość niedawno firma Intel wprowadziła na rynek nowe akceleratory Xeon Phi mające spełniać oczekiwania użytkowników wymagających bardzo dużych mocy obliczeniowych. Tego typu dwa akceleratory (5110P) zostały zainstalowane w klastrze Moss dostępnym w Poznańskim Centrum Superkomputerowo-Sieciowym. Do sprzętu tej klasy miałem dostęp w ramach narodowej inicjatywy PL-Grid. Specyfikację techniczną wybranych akceleratorów z rodziny Intel Xeon Phi przedstawiono w Tab. 3.

Typ akceleratora:	3120A	3120P	5110P	5120D	7120X	7120P
TDP (WAT):	300	300	225	245	300	300
Ilość rdzeni:	57	57	60	60	61	61
Częstotliwość zegara (GHz):	1,100	1,100	1,053	1,053	1,238	1,238
Wydajność teoretyczna (GFLOPS):	1003	1003	1011	1011	1208	1208
Wydajność pamięci (GT/s):	5,0	5,0	5,0	5,5	5,5	5,5
Przepustowość pamięci:	240	240	320	352	352	352
Rozmiar pamięci (GB):	6	6	8	8	16	16
Rozmiar pamięci cache (MB):	28,5	28,5	30,0	30,0	30,5	30,5
Tryb Turbo:	NIE	NIE	NIE	NIE	TAK	TAK
Częstotliwość trybu Turbo (GHz):	-	-	-	-	1,333	1,333

Tab. 3. Tabela przedstawiająca specyfikację techniczną wybranych akceleratorów z rodziny Intel Xeon Phi. Źródło: Opracowanie własne na podstawie danych technicznych firmy Intel.

Tab. 3. Table showing technical specifications of selected accelerators from Intel Xeon Phi family. Source: Own elaboration based on Intel website.

Na klastrze Moss dostępne są dwa akceleratory Intel Xeon Phi. Na potrzeby tej pracy przetestowano jednak możliwości zrównoleglenia aplikacji jedynie na jednym z nich (mic0). Istnieje oczywiście możliwość wykorzystania

dwóch z nich jednak należałoby w takim przypadku skorzyszczać ze środowiska MPI. Uzyskane czasy realizacji oraz przyśpieszenie dla trybu natywnego [16] przedstawiono w Tab. 4. Analogiczną tabelą dla trybu offload [16] (środowisko OpenMP) jest Tab. 5.

Ilość wątków	Czas realizacji	Przyśpieszenie
1	3729	-
2	2269	1,643
3	1530	2,436
4	1101	3,386
6	672	5,543
8	558	6,675
10	404	9,214
12	369	10,094
16	238	15,621
20	195	19,078
24	166	22,374
32	126	29,465
48	84	43,973
50	82	45,212
60	74	50,277

Tab. 4. Czasy realizacji oraz uzyskane przyśpieszenia rozwiązania zrównoleżonego w środowisku OpenMP (na akceleratorze Intel Xeon Phi 5110P w trybie natywnym) wykonywanego z parametrami $max_base = 500$, $max_power = 500$. Czasy mierzone w sekundach. Źródło: Opracowanie własne.

Tab. 4. Time of realization and obtained accelerations of paralleled solution in OpenMP environment (on Intel Xeon Phi 5110P accelerator in native mode) performed with parameters $max_base = 500$, $max_power = 500$. Times measured in seconds. Source: Own data.

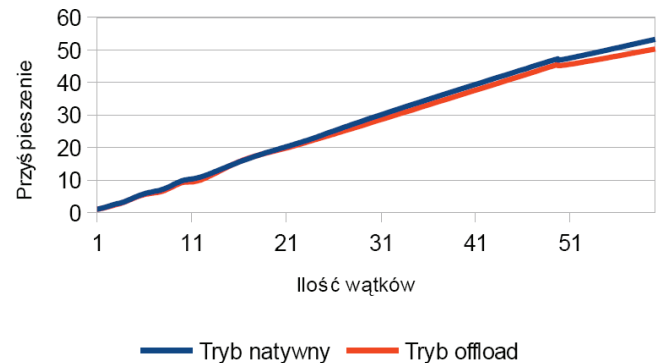
Ilość wątków	Czas realizacji	Przyśpieszenie
1	3729	-
2	2269	1,643
3	1530	2,436
4	1101	3,386
6	672	5,543
8	558	6,675
10	404	9,214
12	369	10,094
16	238	15,621
20	195	19,078
24	166	22,374
32	126	29,465
48	84	43,973
50	82	45,212
60	74	50,277

Tab. 5. Czasy realizacji oraz uzyskane przyśpieszenia rozwiązania zrównoleżonego w środowisku OpenMP (na akceleratorze Intel Xeon Phi 5110P w trybie offload) wykonywanego z parametrami $max_base = 500$, $max_power = 500$. Czasy mierzone w sekundach. Źródło: Opracowanie własne.

Tab. 5. Time of realization and obtained accelerations of paralleled solution in OpenMP environment (on Intel Xeon Phi 5110P accele-

rator in offload mode) performed with parameters $max_base = 500$, $max_power = 500$. Times measured in seconds. Source: Own data.

Jak widać w powyższych tabelach minimalnie lepsze rezultaty (tj. wyższe przyśpieszenia) uzyskano zgodnie z oczekiwaniami w trybie natywnym. Na Ryc. 3 oraz Ryc. 4 można zobaczyć graficzne zobrazowanie na wykresie tych wyników.



Ryc. 3. Porównanie przyśpieszeń uzyskanych na Intel Xeon Phi w trybie offload oraz w trybie natywnym. Źródło: Opracowanie własne.

Fig. 3. Comparison of accelerations obtained on Intel Xeon Phi in offload mode and in native mode. Source: Own data.



Ryc. 4. Przedstawienie graficzne różnicy w czasie wykonywania pomiędzy trybem offload, a natywnym. Źródło: Opracowanie własne.

Fig. 4. Graphical presentation of difference in performance time between offload mode and native mode. Source: Own data.

Na Ryc. 4 dobrze widać, że praktycznie zawsze (nie licząc jednego przypadku dla 16 wątków) realizacja natywna jest szybsza od tej w OpenMP (offload). Jeżeli więc mamy bezproblemową możliwość skorzystania z tego trybu to warto jego wykorzystać, chociaż różnica z offload nie jest wielka. Należy także zauważyć, że różnica pomiędzy skrajnymi punktami tego wykresu jest bardzo mała (wynosi niecałe 3,5 sekundy). Dlatego też ponowne wykonanie pomiarów może dać dość zasadniczo inny przebieg.

Analiza wyników zrównoleglenia na platformie wykorzystującej Versatile SMP Foundation Advanced Platform firmy ScaleMP

Przetestowano możliwość zrównoleglenia oprogramowania z wykorzystaniem standardu OpenMP oraz platformy wykorzystującej Versatile SMP Foundation Advanced Platform firmy ScaleMP. Platforma ta pozwala agregować dziesiątki zwyczajnych serwerów w jedną dużą maszynę SMP w oparciu o szybką sieć InfiniBand. Rozwiązanie tworzy komputer z współdzieloną pamięcią (dziesiątki TB pamięci operacyjnej) i setkami rdzeni obliczeniowych.

Specyfikacja dostępnego sprzętu:

Obudowy typu blade HP C7000 10U, serwery: typu blade HP ProLiant BL490 G6 (16 płyt głównych na obudowę blade), procesory Intel Xeon X5670 @ 2.93GHz, 12MB Cache, architektura EM64T, liczba procesorów: 32, Liczba rdzeni obliczeniowych: 192, Moc obliczeniowa: 2,25 TFlops (całość), całkowita pamięć operacyjna: 1152 GB (16 nodów po 72 GB), Sieć InfiniBand (40Gb/s) oraz Gigabit Ethernet (10Gb/s).

Wyniki analizy wydajnościowej przedstawiono w Tab. 6 oraz Ryc. 5.

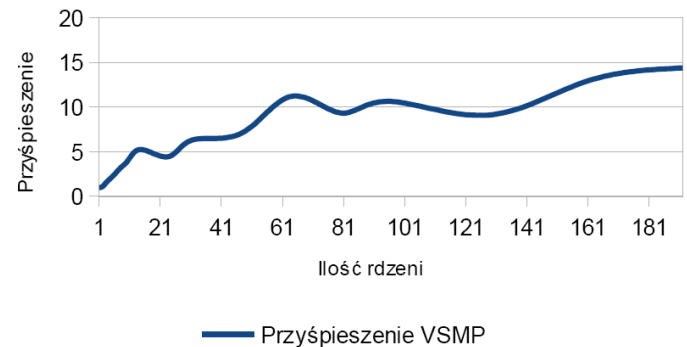
Ilość wątków	Czas realizacji	Przyśpieszenie
1	2128	1,000
2	2003	1,062
3	1502	1,416
4	1195	1,780
6	870	2,445
8	678	3,185
10	557	3,820
12	488	4,750
16	412	5,165
24	476	4,470
32	335	6,352
48	298	7,140
64	190	11,200
80	228	9,333
96	200	10,640
128	234	9,094
160	166	12,819
192	148	14,378

Tab. 6. Wyniki czasowe uzyskane podczas analizy przypuszczenia Beal'a zrównolegzonego w środowisku OpenMP wykonywanego z parametrami `max_base = 500`, `max_power = 500`. Czasy mierzone w sekundach. Źródło: Opracowanie własne.

Tab. 6. Time results received during Beal's conjecture analysis of the

6. Wrapper ma sens np. gdy aplikacja licząca jest napisana w innym języku niż C/C++ i nie ma możliwości z jego poziomu wywołania funkcji BOINC API.

parallel system based on OpenMP environment performer with parameters `max_base = 500`, `max_power = 500`. Times measured in seconds. Source: Own data.



Ryc. 5. Przyśpieszenia uzyskane na platformie wykorzystującej Versatile SMP Foundation Advanced Platform firmy ScaleMP. Źródło: Opracowanie własne.

Fig. 5. Accelerations received with use of Versatile SMP Foundation Advanced Platform, by ScaleMP. Source: Own data.

Jak wynika z powyższej Tabeli oraz powyższego wykresu obliczenia na platformie vSMP wykorzystujące dużą ilość rdzeni są bardzo mało opłacalne. Wykorzystanie więcej niż 64 rdzeni nie daje już relatywnego przyśpieszenia. Jest to spowodowane najprawdopodobniej nie skalowaniem się w tym przypadku całej platformy i ograniczeniem przepustowości (lub też opóźnień) pamięci.

Adaptacja oprogramowania na potrzeby projektu rozproszonego

Aby uruchomić własny system rozproszony należało dostosować do jego potrzeb zarówno samą aplikację generującą wyniki, jak i sam rdzeń BOINC. Ten rozdział skrótkowo opisuje przeprowadzone prace.

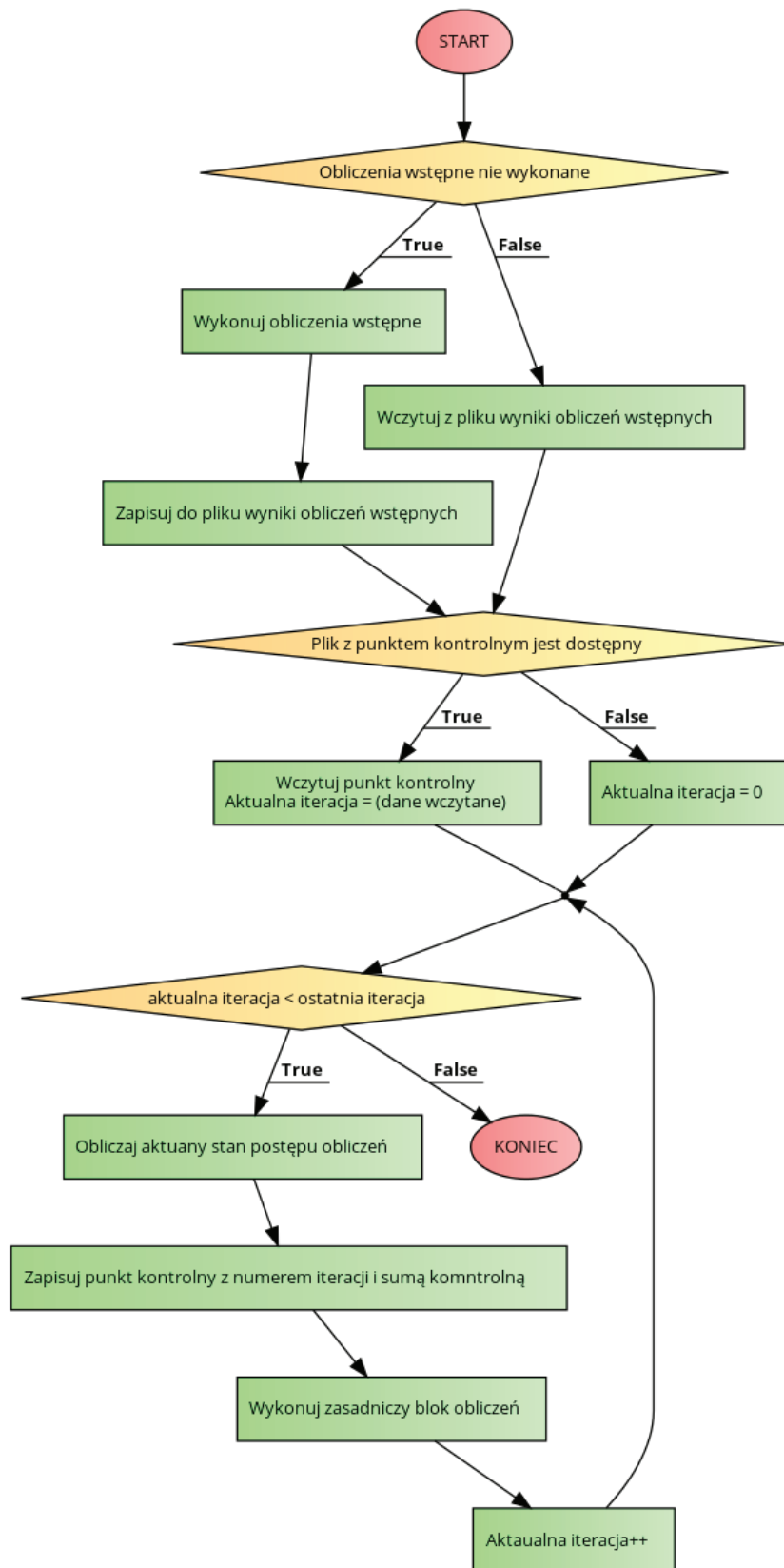
Dostosowanie do potrzeb silnika analizującego przypuszczenie Beal'a

Praktycznie każdą uruchamianą niezależnie przez klienta BOINC aplikację należy dostosować do jego wymogów. Wyjątkiem tutaj mogą być programy obliczeniowe uruchamiane za pomocą tak zwanego *wrappera* (pośrednika). W projekcie BealF@Home zastosowano jednak bezpośrednie wykorzystanie BOINC API z pominięciem funkcjonalności jakie daje wrapper, gdyż jest on całkowicie zbędny⁶. Na Listing 1 przedstawiono uproszczony schemat zastosowanego rozwiązania. Na Ryc. 6. zaprezentowano natomiast analogiczny schemat blokowy.

```
1  START;
2
3  if(Obliczenia wstępne nie wykonane)
4  {
5      Wykonuj obliczenia wstępne;
6      Zapisuj do pliku wyniki obliczeń wstępnych;
7  }
8  else
9  {
10     Wczytaj z pliku wyniki obliczeń wstępnych;
11 }
12
13 if(Plik z punktem kontrolnym jest dostępny)
14 {
15     Wczytaj punkt kontrolny
16     Aktualna iteracja = (dane wczytane);
17 }
18 else
19 {
20     Aktualna iteracja = 0;
21 }
22
23 while(aktualna iteracja < ostatnia iteracja)
24 {
25     Obliczaj aktualny stan postępu obliczeń;
26     Zapisuj punkt kontrolny z numerem iteracji i sumą komontrolną;
27     Wykonuj zasadniczy blok obliczeń;
28
29     if(Znaleziono prawdopodobne rozwiązanie)
30     {
31         Zapisuj rozwiązanie do pliku;
32     }
33
34     Aktualna iteracja++;
35 }
36
37 KONIEC;
```

Listing 1. Uproszczony pseudokod prezentujący możliwość adaptacji programu na potrzeby projektu BOINC. Źródło: Opracowanie własne.

Listing 1. Simplified pseudocode presenting programs adaptation capabilities for BOINC project. Source: Own data.



Ryc. 6. Uproszczony schemat blokowy prezentujący możliwość adaptacji programu na potrzeby projektu BOINC. Źródło: Opracowanie własne.
Fig. 6. Simplified block diagram presenting programs adaptation capabilities for BOINC project. Source: Own data.

Na początku programu oczywiście należy załączyć (*include*) plik `"boinc_api.h"`. Następnie na samym początku funkcji głównej `main` zostało zainicjowane środowisko BOINC API za pomocą funkcji `boinc_init()`. Jej obsługę zaprezentowano na Listingu 2.

```

1 int rc = boinc_init();
2 if (rc)
3 {
4     fprintf(stderr, "APP: boinc_init() failed. rc=%d\n", rc);
5     exit(rc);
6 }
7
8 boinc_fraction_done(0.0);

```

Listing 2. Obsługa funkcji `boinc_init()` oraz ustawienie postępu obliczeń na 0% za pomocą funkcji `boinc_fraction_done()`. Źródło: Opracowanie własne.

Listing 2. Handling of `boinc_init()` function and setting of computing progress to 0% with use of `boinc_fraction_done()`. Source: Own data.

Kolejnym etapem, który warto opisać są kroki zaznaczone na Listingu 4 i Ryc. 11 jako „Obliczaj aktualny stan postępu obliczeń” oraz „Zapisuj punkt kontrolny z numerem iteracji i sumą kontrolną”. Są one realizowane już w funkcji głównej poszukującej kontrprzykładu dla przypuszczenia Beal'a. Operacje te przedstawiono na Listingu 3.

```

1 progress_value = (float) (xi - min_index) / (float) (max_index - min_index);
2
3 fp_progress=fopen("progress", "w");
4 fprintf (fp_progress, "%f", progress_value);
5 fclose(fp_progress);
6
7 boinc_fraction_done(progress_value);
8
9 fp_checkpoint=fopen("checkpoint", "w");
10 fprintf (fp_checkpoint, "%lld %lld", xi, checksum);
11 fclose(fp_checkpoint);
12
13 boinc_checkpoint_completed();

```

Listing 3. Kod realizujący obliczanie aktualnego stanu postępu obliczeń, aktualizowanie paska postępu oraz zapis do pliku punktu kontrolnego i sumy kontrolnej. Źródło: Opracowanie własne.

Listing 3. Code realizing computation of actual computing state, actualization of progress bar and record to control point file and control sum. Source: Own data.

Na Listingu 6 wykorzystano dwie funkcje z BOINC API: wspomnianą już wcześniej `boinc_fraction_done()`, która przyjmuje za argument ułamek określający postęp obliczeń ($0 \rightarrow 0\%$, $0.5 \rightarrow 50\%$, $1.0 \rightarrow 100\%$) oraz `boinc_checkpoint_completed()`, która jak nazwa informuje wysłała informację do BOINC API, że punkt kontrolny został zapisany poprawnie.

Obliczanie stanu postępu obliczeń zostało zaprezentowane w pierwszej linijce Listingu 6. Do obliczania stanu wykorzystywane są zmienne: `xi`, `min_index` oraz `max_index`. Określają one odpowiednio numer aktualnej iteracji, numer iteracji startowej oraz numer iteracji końcowej. Dla przykładu przy wartościach: $xi = 620$, $min_index = 600$, $max_index = 800$ wartość wyświetlona przy odpowiednim zadaniu na pasku postępu będzie wynosiła $(620-600) / (800-600) = 20 / 200 = 0.1 \Rightarrow 10\%$.

Zapisany punkt kontrolny oraz sumę kontrolną należy przy wznowianiu obliczeń odpowiednio wczytać z pliku. Kod odpowiedzialny za obsługę tego działania zaprezentowano na Listingu 4.

```

1 unsigned long long int checksum = 0;
2
3 if ( (fp_checkpoint=fopen("checkpoint", "r"))==NULL )
4 {
5     xi = min_index;
6 }
7 else
8 {
9     fscanf(fp_checkpoint, "%lld %lld", &xi, &checksum);
10    fclose(fp_checkpoint);
11 }

```

Listing 4. Kod w funkcji poszukującej kontrprzykładu dla przypuszczenia Beal'a odpowiedzialny za wznowianie obliczeń z zapisanego punktu kontrolnego (wczytaniu podlega także zapisana suma kontrolna). Źródło: Opracowanie własne.

Listing 4. Code of function searching for counterexample for Beal's conjecture responsible for resuming computation from stored control point (control sum is also loaded). Source: Own data.

W tym miejscu warto także napisać czym jest wcześniej wspomniana suma kontrolna. Suma kontrolna jest zawsze dopisywana na końcu pliku „*result*” z ewentualnymi rezultatami. Znaczna część zadań (ponad 99%) kończy się nie odnalezieniem w danym przedziale nawet rozwiązania prawidłowego modulo 2^{64} . Oznacza to, że gdyby nie było sumy kontrolnej zwracany byłby jedynie pusty plik. Nie byłoby więc możliwości zweryfikowania przez serwer, czy faktycznie dany komputer klienta wykonał wszystkie wymagane obliczenia. Można więc wyobrazić sobie sytuację, gdy użytkownik zatrzymuje aplikację liczącą, podmienia jedynie wartość w pliku gdzie zapisany jest ostatni punkt kontrolny na wyższą (bliżej końca obliczeń) i wznowia obliczenia ale już od nowego, dalszego punktu kontrolnego. W ten sposób teoretycznie możliwe byłoby oszukanie systemu, co jednak zostało wyeliminowane przez zastosowanie sumy kontrolnej.

Suma kontrolna na samym starcie aplikacji wynosi 0 (Linia pierwsza w Listingu 7). Z czasem działania funkcji głównej wyszukującej kontrprzykłady jest zwiększana o wartość bezwzględną pewnej liczby zwróconej na danym kroku iteracji przez `binary_search()`. Jest to procedura całkowicie deterministyczna i na różnych komputerach, w różnym czasie obliczeń będzie dawała ten sam wynik końcowy (sumę kontrolną). Kod prezentujący obliczenie końcowe sumy kontrolnej oraz operację jej zapisu do pliku „*result*” przedstawiono na Listingu 5.

```

1 checksum = 1000 + checksum % 1000;
2
3 fp_results=fopen("result", "a");
4 fprintf (fp_results, "CHECKSUM=%lld", checksum);
5 fclose(fp_results);

```

Listing 5. Kod prezentujący obliczenie końcowe sumy kontrolnej oraz operację jej zapisu do pliku „*result*”. Źródło: Opracowanie własne.

Listing 5. Code presenting final computation of control sum and operation of it's record to the „*result*” file. Source: Own data.

Jak widać na Listingu 8 suma kontrolna podlega ostatecznie pewnemu „okrojeniu”. Dzięki operacji w linii pierwszej będzie miała ona jednak zawsze cztery cyfry (od 1000 do 1999). Jest to istotne z pewnych względów i aspekt ten został wykorzystany podczas programowania walidatora po stronie serwera projektu BOINC.

Na samym końcu programu można wywołać ostatecznie `boinc_fraction_done(1.0)` oraz funkcję `boinc_finish(0)`, która poinformuje BOINC API o zakończeniu obliczeń.

Dostosowanie do potrzeb platformy BOINC

Pierwszą rzeczą jaką powinniśmy zrobić na zainstalowanym już serwerze BOINC jest dodanie aplikacji. Pierwszą rzeczą jaką powinniśmy wykonać jest dodanie nazwy naszej aplikacji do pliku `project.xml` znajdującego się w katalogu głównym projektu. Wpis ten będzie wyglądać następująco:

```
<app>
  <name>beal_engine</name>
  <user_friendly_name>Beal Engine</
user_friendly_name>
</app>
```

Kolejnym etapem jest stworzenie odpowiedniej struktury katalogów (od `./apps`) oraz umieszczenie w nim odpowiednich plików (w tym oczywiście także aplikacji liczącej). Przykładowo dla wersji aplikacji 1.00 i platformy Linux `x86_64` (`x86_64-pc-linux-gnu`) będzie to:

```
./apps/beal_engine/1.00/x86_64-pc-linux-gnu/
```

Dla aplikacji `beal_engine` w wersji 1.01 i platformy Microsoft Windows `x86_64` będzie to:

```
./apps/beal_engine/1.01/windows_x86_64/
```

Więcej etykiet określających różne platformy odnajdziemy w pliku `project.xml`. Należy zaznaczyć, że możemy zdefiniować aplikacje dla różnych, bardzo egzotycznych platform takich jak konsola do gier PlayStation 3 lub system Android działający na procesorach ARM.

W powyżej zdefiniowanych katalogach umieszczamy aplikację liczącą. W naszym przypadku dla wersji 1.00 i Linux `x86_64` (`x86_64-pc-linux-gnu`) jej nazwa będzie wyglądać następująco:

```
beal_engine_1.00_x86_64-pc-linux-gnu
```

Zasadniczo można powiedzieć, że szablon nazwy aplikacji można zdefiniować jako:

```
nazwa_aplikacji_number_wersji_platforma
```

Dodatkowo w tym samym katalogu co aplikacja musimy umieścić także dwa pliki: `job.xml` oraz `version.xml`. Zawartość pliku `job.xml` przedstawiono na Listingu 6. Na Listingu 7 przedstawiono natomiast zawartość pliku `version.xml`.

```
1 <job_desc>
2   <task>
3     <application>beal_ignie</application>
4   </task>
5 </job_desc>
```

Listing 6. Zawartość pliku `job.xml`. Źródło: Opracowanie własne.
Listing 6. Contents of `job.xml` file. Source: Own data.

```
1 <version>
2   <file>
3     <physical_name>beal_engine_1.00_x86_64-pc-linux-gnu</physical_name>
4     <needs_network/>
5     <copy_file/>
6     <main_program/>
7   </file>
8   <file>
9     <physical_name>job.xml</physical_name>
10    <logical_name>job.xml</logical_name>
11  </file>
12 </version>
```

Listing 7. Zawartość pliku `version.xml`. Źródło: Opracowanie własne.
Listing 7. Contents of `version.xml` file. Source: Own data.

Kolejnym krokiem jaki powinniśmy wykonać jest stworzenie odpowiednich szablonów i zapisanie ich w katalogu `./templates/`. Ja szablon wejściowy nazwałem `input.xml` (`./templates/input.xml`), a szablon wyjściowy `output.xml` (`./templates/output.xml`). Przykładowy szablon wejściowy przedstawiono na Listingu 8, a przykładowy szablon wyjściowy na Listingu 9.

```
1 <file_info>
2   <number>0</number>
3 </file_info>
4 <workunit>
5   <file_ref>
6     <file_number>0</file_number>
7     <open_name>input</open_name>
8     <copy_file/>
9   </file_ref>
10
11   <target_nresults>2</target_nresults>
12   <min_quorum>2</min_quorum>
13   <rsc_fpops_bound>9999999999999999</rsc_fpops_bound>
14   <rsc_fpops_est>575705506285715</rsc_fpops_est>
15   <rsc_memory_bound>10000000.000000</rsc_memory_bound>
16   <delay_bound>604800</delay_bound>
17 </workunit>
18
```

Listing 8 Przykładowy szablon wejściowy. Źródło: Opracowanie własne.

Listing 8. Example input template. Source: Own data.

Najbardziej rozwinięty jest w szablonie wejściowym tag `<workunit>`. To w nim są zawarte informacje niezbędne do wygenerowania nowego zadania na platformie BOINC. W tagu `<file_ref>` znajdują się informacje o pliku lub też plikach wejściowych, z których korzysta nasza aplikacja licząca. Tag `<delay_bound>` określa czas *deadline* – czas (wyrażony w sekundach) w jakim klient musi wykonać wszystkie obliczenia i odesłać je do serwera. Jeżeli w tym okresie serwer nie otrzyma odpowiedzi to przydzieli wykonanie określonej porcji obliczeń innemu klientowi. `<rsc_memory_bound>` określa górny limit pamięci (wyrażony w Bajtach), który może być wykorzystany przez aplikację liczącą. `<rsc_fpops_est>` to przeciętna ilość operacji zmiennoprzecinkowych, która jest wymagana do zakończenia zadania, a `<rsc_fpops_bound>` maksymalna, graniczna ilość operacji zmiennoprzecinkowych po przekroczeniu, które zadanie zostanie zabite.

```

1 <output_template>
2   <file_info>
3     <name><OUTFILE_0/></name>
4     <generated_locally/>
5     <upload_when_present/>
6     <max_nbytes>32768</max_nbytes>
7     <url><UPLOAD_URL/></url>
8   </file_info>
9   <result>
10    <file_ref>
11      <file_name><OUTFILE_0/></file_name>
12      <open_name>result</open_name>
13      <copy_file>1</copy_file>
14      <no_delete/>
15    </file_ref>
16  </result>
17 </output_template>

```

Listing 9. Przykładowy szablon wyjściowy. Źródło: Opracowanie własne.

Listing 9. Example output template. Source: Own data.

Szablon wyjściowy może się wydawać trochę prostszy od wejściowego. Najistotniejsza informacja jest zawarta w tagu `<result>` i `<file_ref>` - jest to nazwa pliku wynikowego wygenerowanego przez aplikację liczącą - w tym przypadku `result`. Oczywiście plików wynikowych może być wiele. W przypadku plików, które mogą zajmować dużo miejsca należy także pamiętać o prawidłowym ustaleniu wartości w tagu `<max_nbytes>`.

Po stworzeniu odpowiedniej struktury katalogów w `./apps/` oraz umieszczeniu w niej niezbędnych plików i utworzeniu odpowiednich szablonów można przejść do właściwego dodawania aplikacji do serwera BOINC.

Najpierw wydajemy polecenie:

```
./bin/xadd
```

Dzięki temu zostanie dodana wstępnie aplikacja. Teraz musimy zaktualizować jej wersję wydając polecenie:

```
./bin/update_versions
```

Wynik wywołania tego polecenia przedstawiono na Listing 10.

```

boincadm@beal:~/projects/bealf$ ./bin/update_versions
Found app version directory for: beal_engine 1.00 x86_64-pc-linux-gnu

NOTICE: You have not provided a signature file for job_2.0.xml,
and your project's code-signing private key is on your server.

IF YOUR PROJECT IS PUBLICLY ACCESSIBLE, THIS IS A SECURITY VULNERABILITY.
PLEASE STOP YOUR PROJECT IMMEDIATELY AND READ:
http://boinc.berkeley.edu/trac/wiki/CodeSigning

Continue (y/n)? y
cp apps/beal_engine/1.00/x86_64-pc-linux-gnu/job_2.0.xml \
/home/boincadm/projects/bealf/download/job_2.0.xml
cp apps/beal_engine/1.00/x86_64-pc-linux-gnu/beal_engine 1.00_x86_64-pc-linux-gnu \
/home/boincadm/projects/bealf/download/beal_engine 1.00_x86_64-pc-linux-gnu
Files:
  beal_engine 1.00_x86_64-pc-linux-gnu (main program)
  job_2.0.xml
Flags:
  API version: 7.1.0
Do you want to add this app version (y/n)? y
App version added successfully; ID=1

```

Listing 10. Wywołanie polecenia `./bin/update_versions` podczas pierwszej aktualizacji wersji aplikacji. Źródło: Opracowanie własne.

Listing 10. Induction of `./bin/update_versions` instruction during first actualization of application version. Source: Own data.

Ostatnim już etapem będzie wygenerowanie WU (*ang. workunit*), które będą mogli pobrać klienci i rozpocząć

obliczenia.

Możemy zrobić to wprowadzając:

```

./bin/create_work -appname beal_engine -wu_
name NAZWA-WU -wu_template
templates/input.xml -result_template templates/
output.xml plik_wejściowy

```

gdzie `plik_wejściowy` jest nazwą pliku, który znajduje się w katalogu `./download/`. Po wykonaniu tej operacji możemy połączyć się BOINC Manager'em (lub samym BOINC klientem) z naszym projektem i pobrać pierwsze zadanie obliczeniowe.

Jako walidator zadań na serwerze BOINC zastosowano zmodyfikowany `sample_bitwise_validator`. Jedno takie samo zadanie jest zawsze wysyłane co najmniej do dwóch klientów (`min_quorum = 2`). Odsyłają oni wynik obliczeń, który powinien być taki sam. `Sample_bitwise_validator` porównuje ze sobą nadesłane wyniki. Jeżeli są identyczne to zatwierdza zadanie jako zrealizowane. Jeżeli natomiast jest pomiędzy nimi jakakolwiek różnica, to wysyła to samo zadanie do trzeciego klienta i na podstawie wyniku, który on zwróci waliduje ostatecznie daną porcję obliczeń.

Główną modyfikacją walidatora jest dodanie do jego możliwości wyłuskiwania z plików wynikowych potencjalnych rozwiązań. W prosty sposób wykorzystano fakt, że waga pliku, w którym nie ma żadnego rozwiązania wynosić będzie zawsze 13 Bajtów (jest to jedynie zapis sumy kontrolnej, która ma postać: `CHECKSUM=XXXX`). W przypadku gdy rozmiar ten jest większy to znaczy, że w pliku znajdują się potencjalne rozwiązania przypuszczenia Beal'a i zostają one umieszczone w dedykowanej do tego celu bazie danych.

Jednym z kluczowych zadań na platformie BOINC jest także odpowiednie generowanie masowych zadań (jak wygenerować jedno zadanie zaprezentowano wcześniej). Można oczywiście funkcjonalność tą realizować w sposób trywialny - np. za pomocą specjalnego skryptu Bash'a wywoływać BOINC'owy program `create_work` i w ten sposób generować kolejne próbki zadań. Można także opracować bardziej wyrafinowane metody. W projekcie BealF@Home początkowo wykorzystywano właśnie prosty skrypt Bash (dodany do pracy jako *załącznik D*). Na późniejszym etapie zastosowano bardziej zaawansowany generator napisany w języku C, który wywoływał polecenia systemowe i łączył się z bazą danych projektu (dodany do pracy jako *załącznik E*). Uproszczony schemat blokowy tego generatora zaprezentowano na Ryc. 7.

Drugi z nich dla podstaw: [4000, 6000]; Dla wykładników: [3, 1000].

Algorytm nie odnajdzie rozwiązania jeżeli takowe znajduje się w sumie zbioru podstaw: [2000, 6000]. Niedogodność tą można rozwiązać przynajmniej na kilka sposobów, kosztem jednak znacznego zwiększenia zapotrzebowania na moc obliczeniową. Rozwiązanie tego problemu będzie jednak zagadnieniem początkowym dla przyszłych badań. Ostatecznie w ramach tej pracy nie udało się odnaleźć kontrprzykładu dla przypuszczenia Beal'a. Nie oznacza to oczywiście jak wcześniej zaznaczono, że takie rozwiązanie nie istnieje. Rezultatem przeprowadzonych obliczeń są rozwiązania prawidłowe modulo 2^{64} . Takich przypadków do dnia 07.06.2015 r. odnaleziono w sumie 47 (zostały przedstawione w Załączniku).

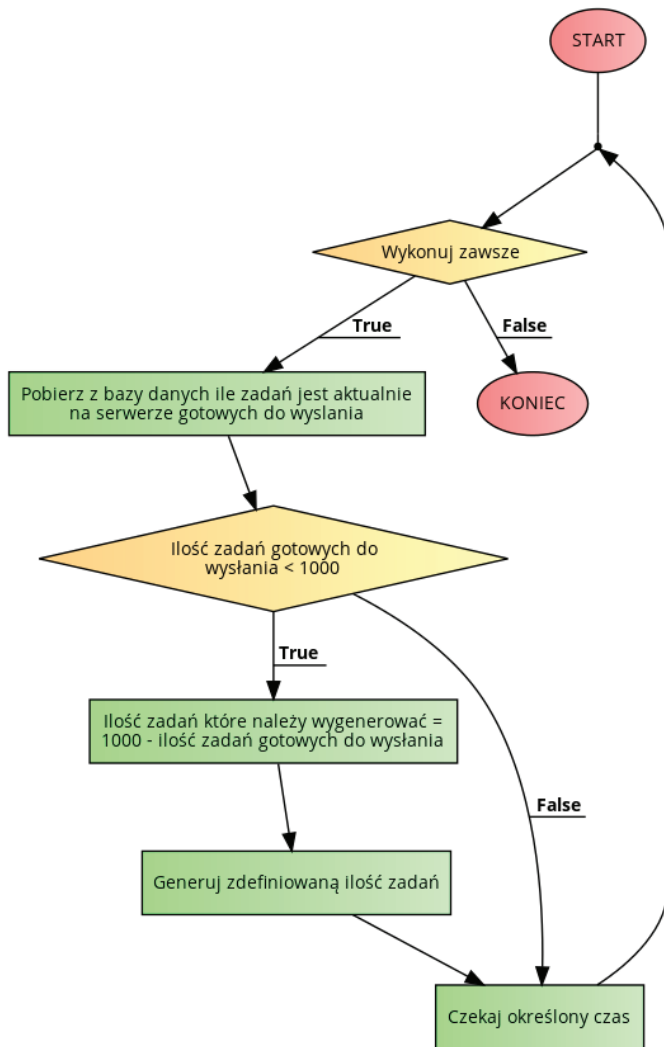
Podziękowania

Obliczenia wykonano w Interdyscyplinarnym Centrum Modelowania Matematycznego i Komputerowego (ICM) Uniwersytetu Warszawskiego w ramach grantu obliczeniowego nr G55-11.

Praca została wykonana z wykorzystaniem Infrastruktury PL-Grid.

Literatura

1. Monika Kwiatkowska, Łukasz Świerczewski, „Testowanie przypuszczenia Beal'a z wykorzystaniem klasycznych procesorów”, Biuletyn Naukowy Wrocławskiej Wyższej Szkoły Informatyki Stosowanej. Informatyka, 2015 5.
2. Świerczewski, Łukasz. "The Distributed Computing Model Based on The Capabilities of The Internet." *arXiv preprint arXiv:1210.1593* (2012).
3. Liu, Tianyu, X. George Xu, and Christopher D. Carothers. "Comparison of two accelerators for Monte Carlo radiation transport calculations, Nvidia Tesla M2090 GPU and Intel Xeon Phi 5110p coprocessor: A case study for X-ray CT imaging dose calculation." *Annals of Nuclear Energy* 82 (2015): 230-239.
4. Schmidl, Dirk, et al. "How to scale nested openmp applications on the scalemp VSMP architecture." *Cluster Computing (CLUSTER), 2010 IEEE International Conference on.* IEEE, 2010.
5. Berr, Nicolas, et al. "Trajectory-Search on ScaleMP's vSMP Architecture." *PARCO*. 2011.
6. Świerczewski, Łukasz. "Symulacja funkcjonalnego systemu kwantowego na równoległych komputerach klasycznych IV generacji." (2013).
7. Сверчевський, Лукаш, and Łukasz Świerczewski. "Polish BOINC projects." *Proceedings of the third international scientific and practical conference FOSS Lviv 2013*. 2013.
8. Ďurech, J., J. Hanuš, and R. Vančo. "Asteroids@ home—A BOINC distributed computing project for asteroid



Ryc. 7. Uproszczony schemat blokowy bardziej zaawansowanego generatora zadań wykorzystanego na platformie BealF@Home. Źródło: Opracowanie własne.

Fig. 7. Simplified block diagram of more advanced task generator used on BealF@Home platform. Source: Own data.

Jak widać powyższy generator zadań jest wykonywany w nieskończonej pętli (może zostać przerwany tylko przez użytkownika). Przy każdej iteracji (które dzielą odpowiedni okres czasu) jest sprawdzana ilość zadań na serwerze, i jeżeli jest ona mniejsza niż 1000 to automatycznie generowane są nowe próbki. Dzięki takiemu rozwiązaniu zadania są generowane zawsze na bieżąco, bez chwilowego, znacznego obciążenia serwera jak to było w przypadku prostego rozwiązania napisanego w Bash'u.

Podsumowanie

Opracowana na potrzeby tej pracy metoda testowania przypuszczenia Beal'a nie jest oczywiście doskonała. Analizy wykonane dla określonych przedziałów mają tą wadę, że nie znajdują rozwiązania, którego zmienne x , y , z , n , m , r leżą w różnych z nich. Dla przykładu weźmy analizowane dwa analizowane przedziały:

Pierwszy z nich dla podstaw: [2000, 4000]; Dla wykładników: [3, 1000].

- shape reconstruction.” *Astronomy and Computing* 13 (2015): 80-84.
9. Durech, Josef, J. Hanus, and R. Vanco. „Asteroids@ Home.” *AAS/Division for Planetary Sciences Meeting Abstracts*. Vol. 44. 2012.
10. Cameron, David. *ATLAS@ Home: Harnessing Volunteer Computing for HEP*. No. ATL-SOFT-SLIDE-2015-159. ATL-COM-SOFT-2015-018, 2015.
11. Stainforth, Dave, et al. „Climateprediction. net: Design Principles for Publicresource Modeling Research.” *IASTED PDCS*. 2002.
12. Abbott, B. P., et al. „Einstein@ Home search for periodic gravitational waves in early S5 LIGO data.” *Physical review d* 80.4 (2009): 042003.
13. Aasi, Junaid, et al. „Einstein@ Home all-sky search for periodic gravitational waves in LIGO S5 data.” *Physical Review D* 87.4 (2013): 042001.
14. Krebs, Viola. „Motivations of cybervolunteers in an applied distributed computing environment: MalariaControl. net as an example.” *First Monday* 15.2 (2010).
15. Harris, Jack, et al. *Mindmodeling@ Home... and Anywhere Else You Have Idle Processors*. AIR FORCE RESEARCH LAB MESA AZ WARFIGHTER READINESS RESEARCH DIVISION, 2009.
16. Ronald W Green (Intel), Native and Offload Programming Models, September 9, 2012, (Online), <https://software.intel.com/en-us/articles/native-and-offload-programming-models>.

Załączniki

1. Tablica z odnalezionymi rozwiązaniami z wykorzystaniem jedynie zasobów superkomputerowych ICM UW prawidłowymi dla operacji modulo 2^{64} Równania w postaci: $x^m + y^n = z^r$ (W kolejności odnalezienia)

Lp.	x	y	z	n	m	r	Wartość modulo
1	676444	677849	676337	20	818	857	17784773319750998129
2	604942	605391	605965	35	246	456	2288372447511289633
3	1220330	1221513	1220387	38	908	600	4948160361256468193
4	1694050	1695039	1694513	28	108	432	12609605036839803457
5	2372032	2372959	2372289	7	688	552	680105010251968001
6	2172698	2173887	2172769	37	532	760	9706423526405764353
7	2128339	2128438	2129297	560	30	492	13199036057921569473
8	3957038	3957605	3956577	25	880	38	11882078048601687105
9	3859227	3859885	3859618	35	557	31	15501064842072031232
10	4018178	4018833	4019705	41	111	890	5477952416353461617
11	4708052	4708227	4708753	17	732	75	6724712973859386417
12	5240198	5240399	5240533	3	334	306	3866028622879127929
13	5304794	5305287	5304823	34	853	555	8893799672103127271
14	5501351	5501900	5501959	228	24	628	16487540361621293025
15	5574977	5575922	5574213	620	22	576	17465805828848740097
16	5607226	5607697	5607227	42	785	860	12384975864894544401
17	6030307	6031672	6030159	752	9	868	263824262007728833
18	6708793	6709351	6709566	567	203	49	15942179730938134528
19	6708818	6709351	6708793	50	58	162	569265639489243057
20	6709351	6709678	6708793	58	50	162	569265639489243057
21	6980534	6981047	6980681	30	292	36	14623819350573189025
22	7170340	7170971	7171143	27	612	906	113473291799894129
23	7170838	7170971	7171143	55	408	604	16563665043124141217
24	7170874	7170971	7171143	54	612	906	113473291799894129
25	7170971	7171143	7171454	306	453	53	13249590103723999232
26	7170971	7171270	7171143	612	54	906	113473291799894129
27	7170971	7171624	7171143	612	18	906	113473291799894129
28	7170971	7171862	7171143	408	55	604	16563665043124141217
29	7170971	7171898	7171143	612	54	906	113473291799894129
30	7171143	7171232	7170971	604	11	408	7232206615212473505
31	7171143	7171306	7170971	604	55	408	7232206615212473505
32	7504489	7504556	7505381	402	10	92	7432643896266708881
33	7718927	7719707	7719778	821	596	9	4756025264355303936
34	8234936	8235097	8234449	5	514	11	10930583924314857201
35	8524223	8524634	8524993	256	30	768	10111295053388726273
36	8401517	8401847	8400550	302	611	18	13584895879439187968
37	8738482	8738539	8738035	12	218	78	4609790393328797913
38	8846743	8847064	8846613	882	15	364	12111255234754506385
39	8962177	8963428	8963573	377	20	352	16483435336951299201

2. Tablica z odnalezionymi rozwiązaniami z wykorzystaniem zarówno zasobów superkomputerowych ICM UW, jak i platformy do obliczeń rozproszonych BOINC prawidłowymi dla operacji modulo 264

Równania w postaci: $x^m + y^n = z^r$ (*W kolejności odnalezienia*)

Lp.	x	n	y	m	z	r	Wartość modulo	Odkrywca	Data odkrycia
1	20070431	770	20070463	113	20071398	25	14155650366 401675264	G55-11*	Fri, 08 May 2015 23:19:00 GMT
2	20200287	784	20201362	27	20200409	192	12393561479 426804225	G55-11*	Mon, 18 May 2015 04:27:31 GMT
3	20394767	544	20394958	50	20394071	448	71486657090 90860545	Zombie67 [MM]	Thu, 21 May 2015 01:25:10 GMT
4	20376694	33	20377193	762	20376099	964	13348672607 142987985	Zombie67 [MM]	Thu, 21 May 2015 20:34:04 GMT
5	20432342	18	20433535	530	20433547	576	32772966616 92875521	Zombie67 [MM]	Fri, 22 May 2015 01:48:17 GMT
6	20805104	7	20805295	936	20804583	752	47443809959 60797313	Zombie67 [MM]	Sat, 23 May 2015 05:19:51 GMT
7	20817022	33	20817127	16	20816479	44	15952473183 518859137	Zombie67 [MM]	Sat, 23 May 2015 07:40:39 GMT
8	21028767	608	21029887	815	21028166	32	88959050428 05030912	G55-11*	Thu, 04 Jun 2015 22:02:35 GMT